

ارزیابی راهکارهای سازگاری با تغییر اقلیم و الگوی اقیانوسی

(منطقه مورد مطالعه: حوزه آبریز گاوخونی)

مازیار مسعودیان^۱- حمید کاردان مقدم^۲- سیده هدی رحمتی^۳

دانش آموخته مهندسی محیط زیست، واحد علوم و تحقیقات، دانشگاه آزاد اسلامی، تهران، ایران

استادیار پژوهشی موسسه تحقیقات آب، وزارت نیرو، تهران، ایران

استادیار گروه مهندسی محیط زیست- منابع آب، واحد علوم و تحقیقات، دانشگاه آزاد اسلامی، تهران، ایران

چکیده:

این مطالعه ارزیابی اثر تغییر اقلیم و پدیده انسو را بر منابع آب حوزه آبریز گاوخونی مورد تحلیل قرار گرفت. از دو مدل شبیه سازی اقلیمی CESM2 و IPSL-CM6A-LR برای شبیه سازی تغییر اقلیم و پدیده النینو و لانینو به عنوان دو پدیده اقیانوسی استفاده شد. نتایج شبیه سازی اقلیمی برای دوره ۲۰۲۰ تا ۲۰۴۰ نشان داد که متوسط بارش در کل حوزه در حد ۱۴ میلیمتر کاهش و متوسط دما ۰/۹۴ افزایش داشته است. بررسی شرایط آبی حوزه در شرایط توسعه حاکی از کسری MCM ۴۱۱ منابع آب زیرزمینی است که در شرایط تغییر اقلیم این کسری افزایش و تا ۴۳۱ MCM می‌رسد. نتایج شبیه سازی در پدیده انسو نیز نشان داد که در رخداد النینو وضعیت منابع آب بهبود یافته و میزان کسری به ۳۱۱ MCM و در رخداد لانینو به ۴۸۱ MCM می‌رسد. میزان تاثیرگذاری النینو به عنوان یک پدیده اقیانوسی بصورت مثبت و لانینو و سنتاریوهای تغییر اقلیم بصورت منفی مورد ارزیابی قرار گرفت. میزان عدم قطعیت کسری منابع آب زیرزمینی در دو پدیده اقیانوسی حجمی بالغ بر ۱۶۳ میلیون مترمکعب در سال و در سه سنتاریوی تغییر اقلیم، ۱۴ MCM شبیه سازی شد.^۴ راهکار انتقال آب (S1)، کاهش بهره برداری از منابع آب زیرزمینی (S2)، افزایش بهره وری آب در بخش کشاورزی (S3) و افزایش راندمان کشاورزی (S4) در این شرایط مورد ارزیابی قرار گرفت. نتایج نشان داد که اگرچه انتقال آب و کاهش بهره برداری می‌تواند در بیلان منابع آب زیرزمینی تاثیر زیادی داشته باشد اما با توجه به ملاحظات محیط زیستی، اقتصادی و اجتماعی می‌توان از راهکارهای افزایش بهره وری و راندمان نتایج مناسبی را بدست آورد.

کلمات کلیدی: حوزه آبریز گاوخونی، عدم قطعیت، افزایش بهره وری آب، راندمان

۱- مقدمه

افزایش فعالیت‌های انسانی سبب افزایش غلظت گازهای گلخانه‌ای شده که افزایش غلظت این گازها درست مانند یک پتو جو زمین را احاطه کرده و مانع از بازتاب نور تابیده خورشید به زمین و خروج آن از جو می‌شود که محبوس شدن تابش خورشید در جو زمین لاجرم باعث گرم شدن کره زمین و نوسانات اقلیمی گردیده است. نگرانی‌های زیای در مورد اثرات تغییر اقلیم بر سیستم‌های مختلف وجود دارد. بیشتر مباحثی که اکنون در خصوص گرمایش زمین وجود دارد بررسی رخداد و یا عدم رخداد آن نیست چراکه اکنون دیگر وجود آن محجز می‌باشد بلکه آن است که چگونه تغییرات و حساسیت‌های اقلیم خواه متأثر از طبیعت و خواه متأثر از فعالیت‌های انسانی موجب افزایش غلظت دی‌اکسید کربن می‌گردد چرا که شواهد مبین آن است که CO_2 جو نقش مهمی در تعیین اقلیم و احیاناً تکوین حیات خود دارد [۱]. گزارش‌های مختلف هیأت بین‌دول تغییر اقلیم^۱ (IPCC)، تغییر اقلیم را به عنوان تغییر در وضعیت اقلیم (تغییر در مقادیر میانگین و یا تغییر پذیری خصوصیات اقلیم) تعریف می‌نماید که هرگونه تغییر در اقلیم در طول زمان،

*- نویسنده عهده‌دار مکاتبات : hkardan@wri.ac.ir

چه در اثر عوامل طبیعی و چه در اثر فعالیت‌های انسانی را شامل می‌گردد. در این میان تنها عاملی که به صورت غیرطبیعی بر سیستم اقلیم کرده زمین تأثیر می‌گذارد، افزایش گازهای گلخانه‌ای است. گازهای گلخانه‌ای نقش بسزایی در بروز تغییرات دمای کره زمین، ایفا می‌کنند. به عنوان مثال بر طبق گزارش (CDFW^۲) در پی تأثیرات مخرب و بروز نا به هنجاری‌های متأثر از گرم شدن زمین، انگلی تحت عنوان Ceratonova shasta در دریاچه Klamath واقع در کرانه غربی امریکا نمو پیدا کرده است که موجب مرگ سالمون‌های جوان این دریاچه شده و به تبع آن صنعت شیلات در این منطقه دستخوش تهدید قرار گرفته است[۲]. اثرات تغییراقلیم به صورت مستقیم بر میزان آبدهی سطحی و به طور غیرمستقیم بر میزان ذخیره‌ی آبخوان‌ها تأثیرگذار است. ارتباط تنگاتنگی بین اجزاء چرخه هیدرولوژیکی و سیستم اقلیمی وجود دارد که سبب می‌شود که اثرگذاری مستقیمی بر هم داشته باشند. میزان رواناب، آبدهی رودخانه، منابع آب زیرزمینی، شدت سیلاب و خشکی، همگی متأثر از مهم‌ترین عناصر اقلیمی (دما و بارش) هستند[۳]. در ایران نیز با بررسی وضعیت رودخانه‌ها و حوزه‌های آبریز طی ۲۵ سال اخیر، ۳ دوره نشست آب مشهود است[۴]. براساس این موضوع ۰.۵٪ منابع آب کشور از دست رفته تلقی می‌شود که این میزان شامل منابع آب تجدیدپذیر و غیر تجدیدپذیر می‌باشد. با توجه به آن که آب، یکی از گران‌بهاترین منابع ملی کشور است و از سوی دیگر در معرض خطرات ناشی از تغییرات اقلیم قرار دارد، لذا بررسی تغییراقلیم و اثرات آن بر منابع آب و به طور خاص بر رواناب، می‌تواند زمینه‌ساز اتخاذ سیاست‌های آینده مدیریت منابع آب باشد. از طرف دیگر، علاوه بر اثرات تغییراقلیم که ناشی از فعالیت‌های صنعتی انسان است، الگوهای دورپیوند نیز در سطح اقیانوس‌ها وجود دارد که این الگوها به تغییرات فشار و گردش عمومی جوی – اقیانوسی گفته می‌شود که بر روی سطح وسیعی از متغیرهای هواشناسی بر روی کره زمین (دورتر از هزاران کیلومتر) تأثیرگذار است[۵]. این پدیده‌ها در زمان رخداد بین چند هفته تا سال بر متغیرهای هواشناسی یک منطقه تأثیرگذار بوده و این الگوها باعث تغییرات مختلفی در چرخه کلان منابع آب یک منطقه می‌شوند[۶]. الگوهای دورپیوندی یکی از عوامل مؤثر هیدرولیماتولوژیکی در پیش‌بینی بارش، دما و بی‌در مقیاس بزرگ می‌باشند. از طرفی، مدیریت جامع و یکپارچه منابع آب ایجاد می‌کند که بتوان متغیرهای بارشی و درنتیجه دبی حاصل از رواناب آن را پیش‌بینی نمود. الگوهای دورپیوندی از دیدگاه دینامیکی و سینوپتیکی می‌توانند بر الگوی بارشی مناطق مختلف مؤثر باشند[۷]. با توجه به مطالعات انجام شده و تائید اثر تغییراقلیم و الگوهای دورپیوند بر وضعیت منابع آب، ارزیابی این دو پدیده در کنار هم نقش موثری در مدیریت منابع آب خواهد داشت[۸]. مثلاً طی بررسی اثر الگوهای دورپیوند بر خشکسالی‌های فراگیر سالانه و زمستانه استان سیستان و بلوچستان شاخص‌های دور پیوند فعال نیمکره شمالی در فصل زمستان و همچنین شاخص چند متغیره انسو (MEI) با شاخص (SPI) مقایسه گردید و در نهایت با استفاده از آزمون‌های همبستگی و مدل رگرسیونی نهایتاً مشخص گردید که این الگوهای در مجموع ۵۵ درصد از تغییرات شاخص (SPI) را تبیین می‌نمایند و الگوی اسکاندیناوی که معنی دار ترین همبستگی را با شاخص (SPI) دارد، به عنوان مؤثر ترین الگوی تبیین کننده خشکسالی تعیین شد[۹]. مطالعات متعددی روی موضوع اثر تغییراقلیم و پدیده‌های اقیانوسی تاکنون مورد بررسی قرار گرفته است که از آن جمله می‌توان به مطالعات Santidrian Tomillo et al (2020) Delage and Power (2020) Osgood et al (2021) Wengel et al (2022), Hendrix et al (2022), Alizadeh (2022) اشاره داشت که به ارزیابی و شناخت تأثیرگذاری این دو پدیده پرداخته شده و روی موضوع سازگاری آنالیز نشده است[۱۰-۱۵]. یکی از مناطق پرچالش از نظر تامین و تخصیص منابع آب، حوضه آبریز گاوخونی در بخش مرکزی کشور است. این حوضه با شرایط خاص از نظر کشاورزی و صنعتی و طرح‌های انتقال آب همواره با تنشی‌های اقتصادی-اجتماعی مواجه بوده که مدیریت این موضوع نیاز به درک مناسب از میزان منابع آب موجود است. با توجه به حساسیت و آسیب‌پذیری منابع آب تحت تنشی‌های اقلیمی اعم از تغییراقلیم و پدیده‌های اقیانوسی، این مطالعه با هدف شناخت میزان تأثیرگذاری و همچنین تدوین یک چارچوب پویا بدنیال شناخت ابعاد آسیب‌پذیر و بدنیال آن ارائه راهکارهای سازگاری در سیستم عرضه و تقاضای منابع آب است. این منطقه با حجم بالای بهره‌برداری بصورت کشاورزی سنتی و شبکه‌های آبیاری در کنار توسعه صنعتی در شهر اصفهان و اطراف آن قرار دارد. لذا برنامه‌ریزی تخصیص منابع آب می‌بایست بگونه‌ای باشد تا کمترین تعارضات ایجاد گردد. یکی از جنبه‌های برهمنمودن سیستم تخصیص، عدم توزان مناسب بارش از نظر زمانی و

مکانی است که تحت تاثیر تغییر اقلیم و پدیده‌های اقیانوسی می‌تواند تغییر یابد. لذا شناسایی این موضوع و تدوین راهکار می‌تواند نقش مهمی در تعديل تنش‌های منطقه‌ای داشته باشد.

۲- مواد و روشها

۱-۲- متداول‌بودن پژوهش

مطالعات جامع منابع آب و وضعیت آمایش حوضه آبریز گاوخونی نشان می‌دهد که تامین آب قریب به ۵ میلیون نفر از ساکنان این منطقه در استان‌های اصفهان، چهارمحال بختیاری، یزد و مرکزی و همچنین تامین آب صنایع بزرگی همچون کارخانه ذوب آهن، مجتمع فولاد مبارکه، پالایشگاه اصفهان، پلی اکریل و صنایع وابسته به آن و دهه‌ها مجتمع صنعتی دیگر به عهده این رودخانه است. مهمترین منبع تامین آب در این منطقه رودخانه زاینده‌رود است که با توجه به طرح‌های متعدد انتقال آب، بخش اعظم نیازها را تامین می‌کند. از طرفی این رودخانه تامین آب کشاورزی دشت‌های بزرگی همچون نکوآباد، برخوار، مهیار و رودشین را در وسعتی بالغ بر ۲۰۰ هزار هکتار عهده‌دار می‌باشد. از طرفی نیز با توجه به روند گرمایش زمین و اثرات تغییر اقلیم، روند بیلان منابع آب می‌تواند تحت تاثیر سناریوهای مختلف انتشار گازهای گلخانه‌ای قرار گرفته و در افزایش یا کاهش خسارات تاثیرگذار باشد. همچنین با توجه به الگوهای بزرگ مقیاس، پدیده‌های اقیانوسی نیز می‌تواند در تغییر رفتار هیدرولوژیکی این حوضه تاثیرگذار باشد لذا این مطالعه بدنیال ارزیابی و تدوین راهکارهای سازگاری با تغییر اقلیم و پدیده‌های اقیانوسی است. براین اساس روش انجام پژوهش در ۶ گام بشرح زیر تعریف و روند نمای انجام در شکل (۱) ارائه شده است.

گام اول) ارزیابی وضعیت منابع و مصارف آب.

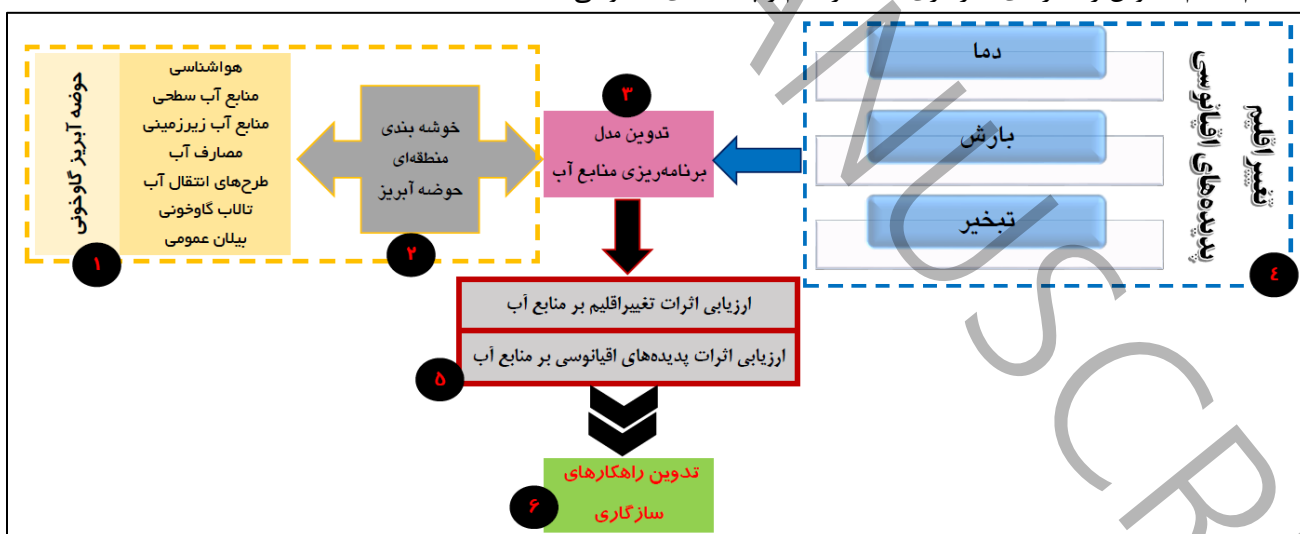
گام دوم) تقسیم‌بندی حوضه آبریز گاوخونی.

گام سوم) تدوین مدل بیلان منابع آب منابع آب.

گام چهارم) شبیه‌سازی تغییر اقلیم و پدیده‌های اقیانوسی.

گام پنجم) ارزیابی اثرات تغییر اقلیم و پدیده‌های اقیانوسی بر وضعیت منابع آب.

گام ششم) تدوین راهکارهای سازگاری با تغییر اقلیم و پدیده‌های اقیانوسی.



شکل (۱)- روند نمای انجام پژوهش
Figure 1. Flowchart of this research

۲-۲- حوضه آبریز گاو خونی

حوضه آبریز گاو خونی یکی از مهمترین حوضه آبریز درجه ۲ کشور با مساحت ۴۱۵۵۰ کیلومترمربع یکی از ۹ حوضه آبریز فلات مرکزی ایران است که مابین دو رشته کوه البرز و زاگرس در بخش مرکزی ایران واقع شده است. این حوضه آبریز از دو بخش اقلیمی متفاوت تشکیل شده است، قسمت غربی آن کوهستانی با ارتفاع زیاد و آب و هوای سردتر بوده و در بخش شرقی و جنوب شرقی با ارتفاع و میزان بارندگی کمتر، دارای آب و هوای گرمتری نیز می‌باشد. رودخانه اصلی و مهم این منطقه رودخانه زاینده رود است که شاخه اصلی آن از ارتفاعات کوهرنگ سرچشمه و از غرب به شرق این حوضه در جریان است. این رودخانه پس از طی مسافتی معادل ۳۵۰ کیلومتر و اتصال شاخه‌های متعدد به آن و با عبور از شهر اصفهان، سرانجام به باتلاق گاو خونی می‌ریزد. از مراکز عمده جمعیت در این حوضه آبریز، می‌توان شهرهای اصفهان، نجف آباد، شهرضا، زرین شهر، مبارکه، فولادشهر، فلاورجان، شاهین شهر، سپاهان شهر، بهارستان، خمینی شهر، داران، میمه و مورچه خورت را نام برد. راههای ارتباطی منطقه نیز بیشتر در شمال و شمال غربی حوضه آبریز قرار داشته و بخصوص در اطراف اصفهان طول راهها نسبتاً زیاد می‌باشد. بخشی از راه اصلی راه آهن تهران به کرمان نیز در این حوضه واقع شده است. رودخانه زاینده رود از بخش شرقی ارتفاعات زاگرس میانی رودخانه زاینده رود سرچشمه و در جهت شمال غرب به سمت جنوب شرق جریان دارد. منبع اصلی تامین آب این رودخانه جریان آن را چشمه سارها و جریانهای ناشی از ذوب برف می‌باشد و پس از طی مسافتی حدود ۵۰ کیلومتر، رودخانه پلاسجان از سمت چپ به آن اضافه می‌شود که دیگر رودی به مخزن سد زاینده رود را تشکیل می‌دهند. همچنین جریان انتقالی از تونل‌ها از حوضه آبریز کارون نیز به مخزن این سد جهت تامین آب اضافه می‌شود. تونل‌های کوهرنگ و تونل خوزستان اصلی ترین عوامل جریان سطحی ورودی به حوضه زاینده رود می‌باشند که در مجموع ۷۱۴ میلیون مترمکعب آب به طور متوسط وارد این رودخانه می‌کنند. این رودخانه پس از عبور از سد زاینده رود با الحاق رودخانه‌های دیگری بنامهای شور دهاقان، مرغاب و دستکن وارد شهر اصفهان می‌شود و در انتهای به باتلاق گاو خونی وارد می‌شود. رودخانه پلاسجان یکی از سرشاخه‌های الحاقی به رودخانه زاینده رود در بالادست سد می‌باشد. این رودخانه از ارتفاعات داران سرچشمه گرفته که پس از الحاق شاخه بوئین به آن از ساحل چپ وارد دریاچه سد زاینده رود می‌شود. در شکل (۲) موقعیت محدوده‌های مطالعاتی حوضه آبریز گاو خونی ارائه شده است.



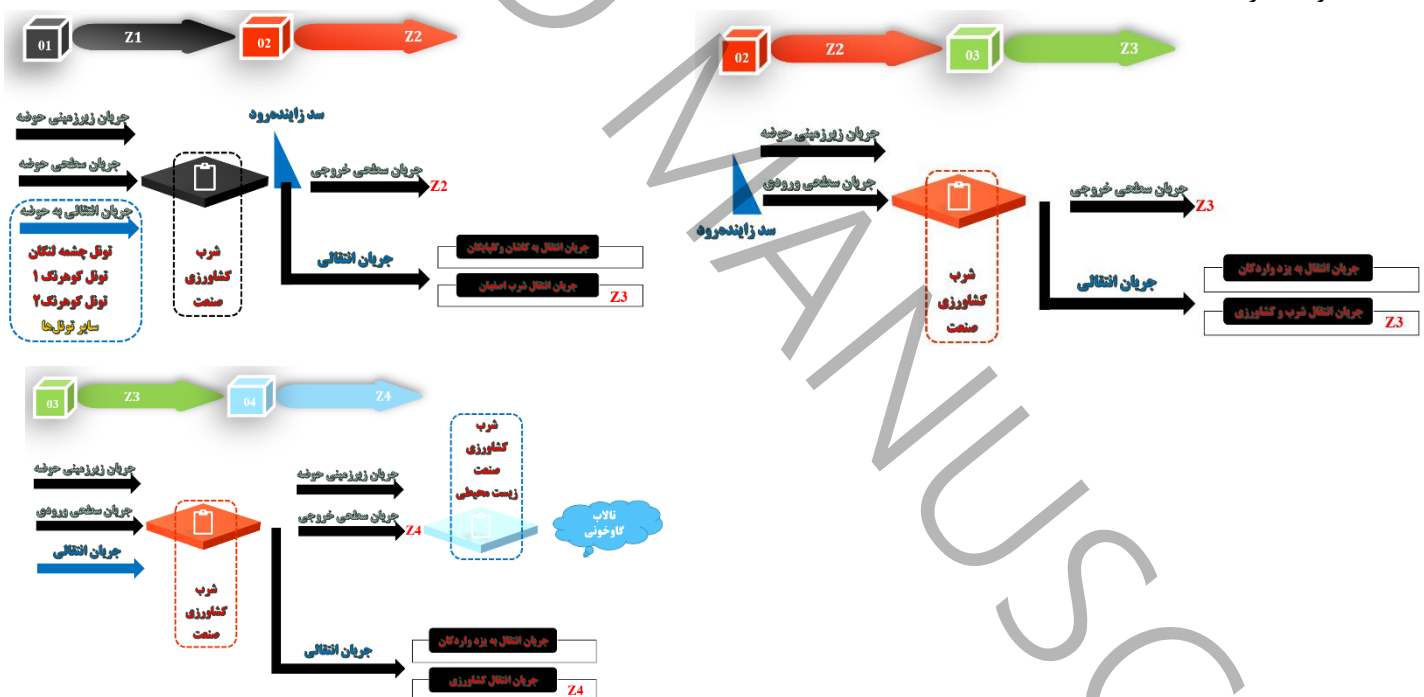
شکل (۲)- موقعیت حوضه آبریز گاوخونی

Figure 2. The location of the Gaukhoni watershed

با توجه به وضعیت حوضه آبریز گاوخونی، خوشبندی حوضه در ۴ منطقه انجام می‌گیرد. خوشه اول در بالادست سد زاینده‌رود انتخاب می‌شود که ۶ محدوده مطالعاتی در آن واقع شده است. این خوشه دارای شرایط اقلیمی خاص نسبت به سایر بخش‌های حوضه گاوخونی است و علاوه بر متوسط بالای بارش، دارای جریان سطحی قابل توجه و تغیراتی حوضه است. خوشه دوم در پایین‌دست سد زاینده‌رود و بخش میانی حوضه آبریز واقع شده است. این خوشه تحت تاثیر جریان ورودی و انتقالی از سد به سایر بخش‌های حوضه قرار داشته و در طی ۲ دهه اخیر حجم بهره‌برداری از منابع آب زیرزمینی نیز در این خوشه افزایش داشته است. خوشه سوم مربوط به بخش انتهایی حوضه قبل از تالاب بوده که از نظر سیاسی و صنعتی غنی است. بخش اعظم جریان انتقالی به این محدوده وارد می‌شود. خوشه چهارم بخش جنوبی تالاب گاوخونی است که جریانات مربوط به ۵ محدوده مطالعاتی در نهایت وارد تالاب می‌گردد.

۳-۲- تدوین مدل بیلان منابع آب

با توجه به خوشبندی حوضه آبریز گاوخونی به چهار خوشه، مدل بیلان منابع آب با استفاده از مدل کدنویسی شده طراحی گردید. در ابتدا براساس بیلان منابع و مصارف در ۴ خوشه، مطابق شکل (۹-۳) مدل مفهومی بیلان و چرخه آب با رویکرد محیط‌زیست و تامین آب برای مصارف مختلف تعریف شد. مبنای علمی مدل مفهومی براساس توازن هیدرولوژیکی و ارتباط هیدرولیکی بین ۴ خوشه تعریف شد.



شکل (۳)- مدل مفهومی بیلان منابع آب

Figure 3. Conceptual model of water resource

به منظور شبیه‌سازی مدل بیلان منابع آب در سطح حوضه آبریز گاوخونی از کدنویسی دینامیک در محیط Excel استفاده می‌شود. این مدل مبتنی بر بیلان هیدرولوژیکی، آب زیرزمینی و عمومی تعریف شده است.

در مدل‌های جفت شده اقیانوس- اتمسفر گردش عمومی جو (گردش کلی) ارائه شده توسط هیئت بین‌الدول تغییر اقلیم، روابط توصیف کننده رفتار جو بر مبنای شبکه‌ای سه‌بعدی که نشان‌دهنده سطح افقی کره زمین و ارتفاع عمودی جو است، حل می‌شوند. به عبارتی مدل‌های AOGCM، حل معادلات حاکم بر جو، بر اساس قوانین نیوتون و ترمودینامیک هستند به‌طوری که قوانین نیوتون در سه محور X، Y و Z به همراه قوانین عمومی گازها و ترمودینامیک، اساس این مدل‌ها را تشکیل می‌دهند. در این مدل‌ها هر یک از اجزاء اقلیم کره زمین (جو، اقیانوس، سنگ کره، یخ کره و زیست کره) در شبکه‌های سه‌بعدی، به‌طور جداگانه در ۱۰ تا ۲۰ لایه در جو و ۳۰ لایه در اقیانوس حل می‌شوند و سپس تمام مدل‌های وابسته به جو و اقیانوس باهم جفت شده و مدل‌های AOGCM را تشکیل می‌دهند. دقت مکانی افقی مدل‌ها در سطح خشکی‌های کره زمین حدود ۲۵۰ کیلومتر و دقت مکانی قائم آن برابر یک کیلومتر می‌باشد. در حالی که دقت مکانی قائم در اقیانوس‌ها ۲۰۰ تا ۴۰۰ متر و دقت مکانی افقی برابر ۱۲۵ تا ۲۵۰ کیلومتر می‌باشد. پیشنهاد اولیه برای طراحی مدل‌های مبتنی بر گزارش ششم تغییر اقلیم (CMIP6) در سال ۲۰۱۴ ارائه گردید که پس از دریافت بازخورد این نسخه اولیه، دو پنل CMIP^۳ و کارگروه مدل‌های جفت شده WGCM^۴ آن در اکتبر سال ۲۰۱۷ نهایی و از سال ۲۰۲۰ اجرای این مدل‌ها شروع شده و تاکنون ادامه دارد. نظر به محدودیت در میزان دسترسی به آمار و اطلاعات دوره پایه و آتی و با توجه به مطالعات انصاری و همکاران (۱۴۰۱) دو مدل IPSL-CM6A-LR و CESM2 برای تحلیل تغییر اقلیم در حوضه آبریز گاوخونی اختبار می‌شود. مدل IPSL-CM6A-LR آخرین نسخه از مدل آب و هوای IPSL است که مبتنی بر مدل فیزیکی اتمسفر-زمین-اقیانوس-دریا یخ عمل می‌کند[۱۶]. این مدل مبتنی بر عملگرهای تشعشع، باد، دما و بارش شبیه‌سازی را مورد تحلیل قرار داده که نسبت به نسخه‌های قبلی بهبود دارد. از طرفی نیز عدم شناخت مناسب از همگرایی دوگانه مناطق گرمسیری، دینامیک بودن نوسانات الینوی و عدم فراوانی مناسب در ارزیابی در زمستان در عرض‌های میانی از سایر محدودیت‌های این مدل است. پیکربندی استاندارد این مدل جفت شده در موسسه IPSL (Pierre-Simon Laplace) انجام گرفته که شامل مدل مدل سطح زمین، مدل اقیانوس، مدل اتمسفر و مدل یخ دریا است. وضوح مدل اتمسفر 144×143 نقطه در طول و عرض جغرافیایی و ۷۹ لایه عمودی (با حداقل ارتفاع حدود ۸۰ کیلومتر) است. این با وضوح افقی متوسط نسخه مدل قبلی (IPSL-CM5A-MR) مطابقت داشته اما تعداد لایه‌های عمودی تقریباً دو برابر شده است[۱۷]. سیستم زمین جامعه مدل ۲ (CESM2) جدیدترین مدل سیستم زمین است که توسط مرکز ملی تحقیقات جوی با همکاری جامعه دانشگاهی توسعه یافته است و در اکثر اجزا در مقایسه با نسل قبلی خود (CESM1) به طور قابل توجهی پیشرفت کرده است[۱۸]. این مدل مبتنی بر گردش اتمسفر در مقیاس بزرگ ارزیابی شده که زمینه بیشتر از طریق مقایسه با گروه بزرگ CESM1 و سایر مدل‌های پژوهش مقایسه مدل جفت شده (CMIP5) و CMIP6 است. در مقایسه با مدل CESM1، CESM2 به طور قابل توجهی در نمایش مسیرهای طوفان، امواج ثابت نیمکره شمالی (NH)، مسدود کردن زمستان NH و گردش جهانی واگرا بهبود یافته است. از طرفی در بسیاری از این ویژگی‌ها در بین ۱۰٪ مدل‌های کلاس CMIP قرار داشته و برخی از ویژگی‌های گردش نیمکره جنوبی (SH) در آن کاهش دارد مانند قدرت جت SH، امواج ساکن و مسدود شدن. این تحلیل همچنین کاستی‌های سیستماتیک دیگر را نیز شامل می‌شود که مانند تمایل مداوم برای قرار گرفتن جریان جت SH به سمت استوا، غرب اقیانوس اطلس شمالی بیش از حد قوی بر روی اروپا، مسیرهای طوفان با اندازه‌گیری کم - سطح واریانس باد نصف‌النهاری بسیار ضعیف است و فقدان انسداد در بخش اقیانوس اطلس شمالی[۱۹]. از طرفی نیز بررسی نتایج انصاری و همکاران حاکی از این موضوع است که این دو مدل در این حوضه آبریز نسبت به سایر مدل‌های دارای دقت بالاتری است[۲۰]. برای این اساس پارامترهای اقلیمی برای دوره پایه در بازه زمانی سالهای ۱۹۵۰ تا ۲۰۱۴ میلادی شبیه‌سازی می‌شود. به منظور یکسان‌سازی بازه زمانی دوره پایه مدل‌های اقلیمی با دوره مشاهداتی، اطلاعات دوره پایه مدل‌های اقلیمی از سال ۱۹۹۵ میلادی تا سال ۲۰۱۴ از ۲ مدل به صورت ماهانه استخراج گردید.

به منظور ارزیابی و شبیه‌سازی تغییرات اقلیمی در هر یک از ۴ خوش در نظر گرفته شده، یک ایستگاه مبنا که دارای طول دوره آماری مناسب است انتخاب گردید. ایستگاه داران فریدن در خوش Z1، نجف‌آباد در خوش Z2، ایستگاه اصفهان در خوش Z3 و ایستگاه ایزدخواست در خوش Z4 انتخاب شد. در انتخاب ایستگاه‌ها علاوه بر طول دوره آماری، نوع ایستگاه و مرکزیت آنها در هر خوش نیز در نظر گرفته شده است. به منظور ریز مقیاس نمایی داده‌های اقلیمی، شبیه‌سازی دوره پایه برای دوره ۱۹۹۰ تا ۲۰۱۵ انجام و نتایج براساس شاخص‌های آماری مورد سنجش قرار می‌گیرد. به منظور ریز مقیاس نمایی از روش تغییر عامل دلتا (DCF) استفاده شد. در این روش برای عامل دما، تغییر براساس تفاضل و برای بارش براساس نسبت داده‌های GCM استفاده شد. این روز ابتدا در دوره پایه ارزیابی و پی از تائید برای دوره آتی ۲۰۲۰ تا ۲۰۴۰ مورد استفاده قرار گرفت. پس از محاسبه عامل تغییر، برای دما عامل تغییر به مقدار دمای دوره پایه اضافه و برای بارش عامل تغییر در مقدار بارش دوره پایه ضرب می‌شود تا مقادیر تصحیح شده دما و بارش برای دوره پیش‌بینی بدست آید. نحوه محاسبه بصورت روابط زیر ارائه شده است.

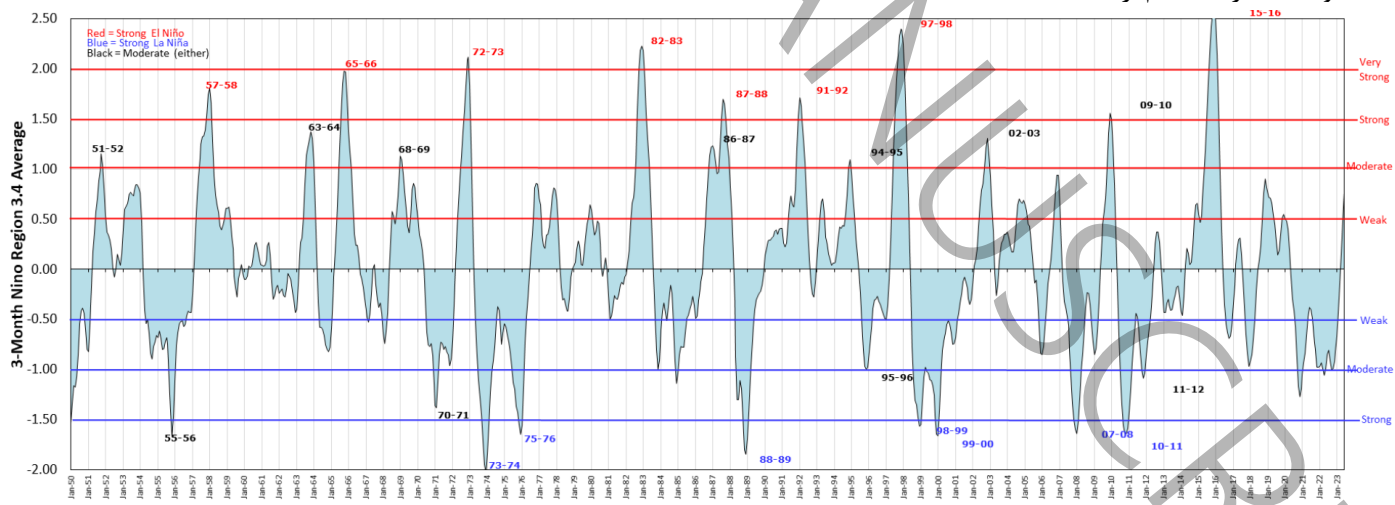
$$T_0^f = T_0 + (\mu_m^f - \mu_m^c) \quad (1)$$

$$P_0^f = P_0 * \frac{\mu_m^f}{\mu_m^c} \quad (2)$$

در این روابط T دما بر حسب درجه سانتیگراد، P مقدار بارش بر حسب میلی‌متر، f دوره آینده، c دوره پایه، m داده‌های مدل و ۰ داده‌های مشاهداتی است.

۵-۲- ارزیابی اثر پدیده‌های اقیانوسی النینو

بررسی‌های آماری نشان می‌دهند که وقوع پدیده ال‌نینو می‌تواند باعث افزایش بارش‌های موسمی و بارش‌ها در فصول سرد در ایران شود. به منظور ارزیابی اثرات این پدیده، از دوره آماری و رفتار نزولات آسمانی در گذشته برای شرایط آتی استفاده گردید. براین اساس سالهایی وقوع النینو مشخص و براساس آن تغییرات بارش و دما که باعث تغییرات در بهره‌برداری و شرایط منابع آب می‌شود مشخص می‌شود. در شکل (۴) نوسانات اقلیمی این پدیده اقیانوسی که از سایت (<http://origin.cpc.ncep.noaa.gov>) استخراج شده است نمایش داده شده است. مطابق شکل پدیده انسو در سه کلاس رخداد ضعیف، متوسط و قوی برای دو پدیده النینو و لانینا با توجه به شرایط اقلیم ارائه شده است.



شکل (۴)- نوسانات اقلیمی النینو

Figure (4) - El Niño climatic fluctuations

به منظور تحلیل شاخص النینو و لانینا بر منابع آب حوضه گاوخونی و اثرات آن سال آبی ۲۰۱۵-۱۶ برای النینو و ۲۰۱۰-۱۱ برای لانینا انتخاب و در مدل‌سازی استفاده می‌شود.

۶-۲- ارزیابی شرایط توسعه در حوضه آبریز گاوخرنی

یکی از مهمترین ابعاد در ارزیابی شرایط آینده در بررسی منابع و مصارف آب تحت هر شرایط اقلیمی، در نظر گرفتن پتانسیل توسعه براساس اسناد آمایش منطقه است. براین اساس با در نظر گرفتن افق طرح برای سال ۱۴۲۰، حجم آب قابل دسترس از منابع آب سطحی و زیرزمینی، تغییر وضعیت کشاورزی و نیاز خالص و ناخالص آبیاری و میزان بهره‌وری آب در هر محدوده مطالعاتی محاسبه و مورد تحلیل قرار گرفت.

۷-۲- تدوین راهکارهای مدیریت منابع آب

یکی از رویکردهای مطالعات تغییر اقلیمی، دستیابی به راهکارهایی به منظور سازگاری یا مدیریت منابع آب با شرایط احتمالی ایجاد شده در آینده است. براین اساس با توجه به هدف این مطالعه که ارزیابی از وضعیت منابع و مصارف آب در حوضه آبریز گاوخرنی است مجموعه‌های از راهکارهای مدیریت منابع آب با هدف تامین حقابه زیست محیطی، تعادل‌بخشی منابع آب زیرزمینی تعریف می‌شود. این راهکارها عبارتند از:

الف) افزایش انتقال آب از حوزه سد کارون با فعالیت تونل شماره ۳ کوهرنگ و تونل بهشت‌آباد (S1): اجرای این راهکار در راستای اجرای تونل‌ها و عدم بهره‌برداری تاکنون می‌تواند در منابع آب حوزه گاوخرنی تاثیر مثبت داشته باشد اما اثرگذاری این راهکار بر حوزه مبدأ باید تحلیل گردد.

ب) کاهش بهره‌برداری از منابع آب حوزه (S2): این راهکار می‌تواند در راستای طرح تعادل‌بخشی منابع آب زیرزمینی که در یک دهه اخیر مورد اجرا است با همکاری کشاورزان منطقه تعریف و اجرا شود. در سالهای اخیر پتانسیل بهره‌برداری از منابع آب زیرزمینی کاهش داشته که عملاً باعث شده تا بهره‌برداران همکاری خوبی با شرکت‌های آب منطقه‌ای داشته باشند.

ج) افزایش بهره‌وری آب در بخش کشاورزی به میزان ۱ و ۲/۵ درصد (S3): یکی از مهمترین اهداف در برنامه‌های توسعه افزایش بهره‌وری آب و زمین است که عملاً با استفاده از راهبردهای مختلفی از جمله الگوی کشت قابلیت پیاده‌سازی را دارد. از طرفی نیز اصلاح عملیات کشاورزی و بهره‌برداری از محصول و استفاده از ابزارهای توسعه اقتصادی می‌تواند در ارزشمندی بهره‌برداری از آب که عملاً افزایش بهره‌وری است تاثیرگذار باشد.

د) افزایش راندمان بخش کشاورزی (S4): افزایش راندمان بخش کشاورزی با توجه به کشاورزی سنتی از محل تامین آب تا مصرف می‌تواند در کاهش مصرف آب بخصوص در بخش کشاورزی تاثیر داشته باشد.

نتایج و بحث

۳-۱- ارزیابی وضعیت فعلی منابع آب حوضه

ارزیابی وضعیت فعلی منابع آب در ۴ منطقه خوشبندی شده براساس آمار و اطلاعات جمع‌آوری شده مورد آنالیز قرار گرفت. براین اساس بیلان منابع آب، بیانگر وضعیت بهره‌برداری و امکان توسعه در یک محدوده است. بطورکلی بیلان آب در یک محدوده شامل بخش‌های اصلی بیلان هیدروکلیماتولوژی در دشت و ارتفاعات، بیلان آب‌های سطحی، بخش مصارف آب سطحی و زیرزمینی و همچنین بیلان آب زیرزمینی در محدوده دشت و ارتفاعات می‌باشد. پارامترهای مورد استفاده در تهیه بیلان بصورت‌های مختلف تهیه و مورد استفاده قرار می‌گیرد. با توجه به خوشبندی حوضه آبریز گاوخرنی، پارامترهای بیلان در هر خوشبصورت مجزا مورد تحلیل و تفسیر قرار می‌گیرد.

جدول (۱) - بیلان هیدروکلیماتولوژی محدوده‌های مورد مطالعه- MCM
Table (1) - Hydroclimatological balance of the studied areas - MCM

نام خوشبصورت منطقه‌ای	ناحیه	حجم بارندگی	تبخیر و تعرق حقيقی	روابط	نفوذ	بارندگی مفید
Z1	دشت	۵۹۱	۴۲۱/۵	۴۶	۱۲۲	

نام خوشه منطقه‌ای	ناحیه	حجم بارندگی	تبخیر و تعرق حقيقی	رواناب	نفوذ	بارندگی مفید
	ارتفاعات	۱۶۰۴	۷۳۸/۸	۶۴۷	۲۱۸	
	مجموع	۲۱۹۵	۱۱۶۰/۳	۶۹۳	۳۴۰	
	دشت	۶۳۷/۸	۵۰۶/۲	۳۰/۳	۱۰۱/۴	
Z2	ارتفاعات	۹۵۹/۹	۵۹۳	۱۹۱/۷	۱۷۵/۱	
	مجموع	۱۵۹۷/۷	۱۰۹۹/۲	۲۲۲	۲۷۶/۵	
	دشت	۱۱۶۱	۵۶۵/۳	۲۲	۱۷۳/۶	
Z3	ارتفاعات	۱۰۱۸/۱	۷۶۷/۲	۱۳۵/۳	۱۱۵/۴	
	مجموع	۲۱۷۹/۱	۱۷۳۲/۵	۱۵۷/۳	۲۸۹	
	دشت	۸۰۳/۳	۷۳۳/۵	۱۳/۵	۵۶/۲	
Z4	ارتفاعات	۱۰۰۹/۶	۸۴۵/۶	۱۱۲/۴	۵۱/۶	
	مجموع	۱۸۱۲/۹	۱۵۷۹/۱	۱۲۵/۹	۱۰۷/۸	

جدول (۲)- بیلان آب زیرزمینی در محدوده‌های مطالعه - MCM

Table (2) - Groundwater balance in the study areas - MCM

تغییرات حجم ذخیره	عوامل تخلیه						عوامل تغذیه						نام خوشه منطقه‌ای
	نفوذ از سطحی	نفوذ از بروجن	نفوذ از زیرزمینی	نفوذ از آبرسان	نفوذ از زیرزمینی	نفوذ از آبرسان	نفوذ از سطحی	نفوذ از بروجن	نفوذ از زیرزمینی	نفوذ از آبرسان	نفوذ از زیرزمینی	نفوذ از آبرسان	
-۵۶/۱	۳۴۱/۷	۷/۱	۰/۴	۲۵/۵	۳۹۸/۷	۲۸۵/۶	۷۵/۱	۳۸/۱	۷۴/۲	۹۸/۲			Z1
-۱۷۵/۹	۱۲۱۷/۱	۱۴/۷	۱/۷	۱۵/۸	۱۱۸۴/۹	۱۰۴۱/۲	۶۴۳	۲۱۴	۶۳/۲	۱۲۱/۱			Z2
-۱۹۰/۷	۱۴۷۴/۵	۱۶۴/۳	۳۰/۳	۶/۹	۱۲۷۳	۱۲۸۲/۸	۶۷۰/۱	۱۶۶	۱۰۸/۷	۳۳۹			Z3
-۴۵/۱	۲۲۶/۶	۱۸/۲	۱۳/۵	۰	۱۹۴/۹	۱۸۱/۵	۵۶	۳۲/۷	۳۲/۱	۶۰/۷			Z4

جدول (۳)- بیلان عمومی آب در محدوده‌های مورد مطالعه در شرایط فعلی

Table (3) - General water balance in the studied areas in current conditions

نام خوشه منطقه‌ای	ارتفاعات	دشت	نفوذ از سطحی و رودی	نفوذ از زیرزمینی	نفوذ از آبرسان	آبهای انتقالی	آبهای انتقالی به کار	بارندگی							
														نام خوشه منطقه‌ای	
Z1	۱۶۰۳/۹	۵۹۰/۸	۵۹۰/۸	۶۹۳	۰	۷۱۱/۶	۱۱۶۰/۲	۶۳/۱	۰/۴	۲۳۵/۸	۱۳۸۶/۸	۰	۰	۰	-۵۶/۱
Z2	۹۵۹/۹	۶۳۷/۸	۶۳۷/۸	۱۴۰۷	۱۶	۱۰۹۹/۴	۱۰/۴	۱۰/۴	۱/۷	۳۸۰/۵	۱۳۱۹/۹	۰	۳۵۶/۹	۰	-۱۷۵/۹
Z3	۱۰۱۸/۱	۱۱۶۱	۱۱۶۱	۱۲۸۰/۵	۲/۹	۱۸/۶	۱۲۳۰/۴	۳۰/۳	۱۲/۹	۱۷۳۲/۴	۳۶۷	۹/۵	۳۸۰/۵	۸۰/۵	-۱۹۰/۷
Z4	۱۰۰۹/۶	۸۰۳/۳	۸۰۳/۳	۱۶/۷	-۲۴/۸	۱۳/۱	۲۵/۷	۱۳/۷	۱۲/۹/۲	۱۵۷۹/۱	۱۱/۵	۲/۷	۱۶/۷	۱۲۵/۹	-۴۵/۱

نتایج بدست آمده از وضعیت فعلی منابع آب در حوضه آبریز گاوخونی نشان می‌دهد که منطقه Z1 با توجه به متوسط ارتفاع و اقلیم دارای بیشترین میزان نزوالت آسمانی و تغذیه منابع آب است. این منطقه همچنین تحت تاثیر جریان ورودی به حجم ۶۹۳ میلیون مترمکعب در سال از حوزه آبریز کارون است که باعث افزایش تقاضای آب در بخش‌های مختلف حوضه شده است و این موضوع توسعه شبکه‌های آبیاری و صنعت را داشته است. از طرفی نیز توسعه‌های انجام شده بدون لحاظ مدیریت منابع آب باعث شده تا ۴۶۸ میلیون مترمکعب کسری منابع آب زیرزمینی بطور سالانه ایجاد شود. این کسری ناشی از اضافه برداشت از منابع آب زیرزمینی است که بررسی منطقه‌ای نشان می‌دهد که سه محدوده نجف‌آباد در منطقه Z2 و دو محدود اصفهان-برخوار و کوهپایه-سگزی در منطقه Z3 بیش از ۵۰٪ کسری را شامل می‌شود. از طرفی بیلان منابع آب سطحی با توجه به جریان سری در شبکه رودخانه‌ها که در نهایت منتهی به تالاب گاوخونی می‌شود تنها کسری حدود ۲۵ میلیون مترمکعب را که عملاً کمبود حقابه این تالاب است را نشان می‌دهد. این کسری بیانگر اضافه برداشت و برداشت کل پتانسیل منابع آب سطحی در این حوضه آبریز است.

۲-۳- ارزیابی وضعیت منابع آب در شرایط توسعه

شرایط توسعه در حوضه آبریز گاوه خونی به تفکیک ۴ خوشة تعیین شده با درنظر گرفتن شرایط تنظیم شده در آمايش این منطقه بشرح زیر تعریف و ارزیابی وضعیت کلی منابع آب مورد تفسیر قرار گرفت.

الف) میزان منابع آب قابل دسترس و برنامه‌ریزی به میزان ۳۷ MCM در خوشة Z1 توسعه، ۱۵ MCM در خوشة Z2 کاهش، ۲۴۰ MCM در خوشة Z3 کاهش و مقدار ۱۲ MCM نیز در خوشة Z4 کاهش داشته باشد.

ب) میزان راندمان کشاورزی به طور متوسط یک درصد افزایش داشته باشد بالطبع آن میزان بهره‌برداری آب در بخش کشاورزی فرآیند کاهشی را خواهد داشت.

ج) توسعه صنعتی و رشد جمعیت بصورت ثابت فرض شده است.

د) شرایط اقلیمی مشابه شرایط قبل در نظر گرفته می‌شود.

۵) جریانات انتقالی در حوضه هیچ تغییری نسبت به شرایط فعلی ندارد.

با توجه به مفروضات در نظر گرفته شده، در شرایط توسعه مطابق جدول (۴) بیلان عمومی منابع آب در ۴ خوش تعيين گردید.

Table (4). General water balance in the studied areas under development conditions

نام خوشه منطقه‌ای	بریان سطحی ورودی	آبیاری انتقالی به محصوله	آبیاری انتقالی به خروجی	ذخیره مخازن آب زیرزمینی	ذخیره مخازن آب سطحی	آبهای انتقالی به خارج	آبهای انتقالی به خروجی	بریان زیرزمینی خروجی	جربان سطحی خروجی	مصرف خالص	تبخیر و تعرق
Z1	۶۹۳	۰	۷۱۱/۴	۱۱۶۰/۳	۶۳/۱	۰/۴	۶۳۲/۲	۱۳۴۴/۸	۳۳۲/۲	-۵۰/۴	-
Z2	۱۲۵۰	۱۶	۰	۱۰۹۹/۴	۱۰/۴	۱/۷	۱۳۱۷	۳۲۲/۵	۳۲۲/۵	-۱۶۴	-
Z3	۳۲۳/۵	۹/۵	۲۸۷	۱۷۲۲/۴	۱۲/۹	۳۰/۳	۱۲۲۵/۲	۱۶۱/۸	۲/۹	۸۰/۵	-۱۶۰/۸
Z4	۱۶۷	۲/۷	۱۱/۵	۱۵۷۹/۱	۱۲۹/۲	۱۳/۷	۱۸۱/۵	۲۵/۷	۱۳/۱	-۲۴/۸	-۳۶/۱

نتایج بدست آمده نشان می‌دهد برنامه‌ریزی انجام شده برای توسعه در این حوضه سعی در کاهش بهره‌برداری از منابع آب زیرزمینی در کل حوضه با تمرکز بر خوشة Z3 دارد. میزان بهره‌برداری از منابع آب زیرزمینی در مجموع ۷۲/۸ MCM کاهش خواهد داشت که این موضوع عملأً در بیلان منابع آب زیرزمینی و کسری مخازن بخوبی مشخص شده است. نتایج بدست آمده نشان می‌دهد

که میزان کسری آبخوان در خوشه Z1 از مقدار MCM ۵۶/۱ به مقدار ۱۷۵/۹ MCM ۵۰/۴ به مقدار ۱۶۴ MCMMT در خوشه Z3 از مقدار MCM ۱۹۰/۷ به MCM ۱۶۰/۸ و در خوشه Z4 از مقدار MCM ۴۵/۱ به MCM ۳۶/۱ کاهش داشته است. بیشترین میزان کاهش بهرهبرداری در خوشه Z3 خواهد بود که بجز کاهش بهرهبرداری از منابع آب زیرزمینی، حجم MCM ۲۰۰ نیز بهرهبرداری از منابع آب سطحی را کاهش خواهد داد. لذا بررسی بیلان عمومی منطقه Z3 نشان می‌دهد که با این کاهش بهرهبرداری از منابع آب سطحی پتانسیل جریان خروجی سطحی منطقه که عملاً وارد تالاب گاوخونی خواهد شد افزایش و به میزان ۱۶۱/۸ MCM خواهد رسید. این حجم در واقع تامین کننده نصف حقایق زیست محیطی تالاب خواهد بود. با توجه به نتایج بدست آمده در خوشه Z3، پتانسیل کاهش بهرهبرداری از منابع آب زیرزمینی با شرایط کاهش جریان خروجی نیز وجود دارد. بطوریکه از حجم جریان خروجی کاسته و جایگزین آب زیرزمینی در منطقه شود.

۳-۳-۳- ارزیابی اثر تغییر اقلیم

به منظور شبیه‌سازی اقلیمی دو مدل IPSL-CM6A-LR و CESM2 ابتدا برای دوره پایه ۱۹۸۵ تا ۲۰۱۴ داده‌های شبیه‌سازی از دو مدل با داده‌های تاریخی در چهار منطقه Z1 تا Z4 با استفاده از شاخص‌های آماری مورد ارزیابی قرار می‌گیرد. پس از ارزیابی دوره تاریخی، شبیه‌سازی دوره آتی برای سال ۲۰۲۰ تا ۲۰۳۹ تحت سناریوهای انتشار انجام می‌گیرد. به منظور ارزیابی صحت نتایج دو مدل انتخابی، ارزیابی دوره پایه در دو شرایط تاریخی و شبیه‌سازی با سه شاخص آماری مطابق جدول (۵) برای پارامتر بارش و جدول (۶) برای پارامتر دما انجام شد.

جدول (۶)- ارزیابی آماری نتایج دوره پایه برای پارامتر دما

Table (6) - Statistical evaluation of the results of the base period for the temperature parameter

IPSL-CM6A-LR			CESM2			منطقه
KGE	R ²	RMSE	KGE	R ²	RMSE	
۰/۲۴۸	۰/۹۴	۰/۱۲	۰/۳۴۱	۰/۹۲	۰/۱۴	Z1
۰/۳۶۱	۰/۹۲	۰/۱۳	۰/۴۱۲	۰/۹	۰/۱۵	Z2
۰/۳۵۸	۰/۹۶	۰/۱	۰/۴۰۲	۰/۸۸	۰/۰۸	Z3
۰/۲۱	۰/۹	۰/۰۶	۰/۱۵۷	۰/۸۹	۰/۰۶	Z4

جدول (۵)- ارزیابی آماری نتایج دوره پایه برای پارامتر بارش

Table (5) - Statistical evaluation of the results of the base period for the precipitation parameter

IPSL-CM6A-LR			CESM2			منطقه
KGE	R ²	RMSE	KGE	R ²	RMSE	
۰/۱۴۲	۰/۸۲	۱۶	۰/۲۳۱	۰/۸۴	۱۴	Z1
۰/۰۲۳	۰/۷۷	۲۱	۰/۱۴۸	۰/۸۱	۱۷	Z2
-۰/۲۱۳	۰/۷۷	۲۰	۰/۱۰۳	۰/۷۷	۱۵	Z3
-۰/۱۱	۰/۸۲	۱۹	-۰/۰۸	۰/۸۶	۱۲	Z4

نتایج بدست آمده از دو مدل مورد شبیه‌سازی نشان می‌دهد که مدل CESM2 نتایج مناسب‌تری را ارائه داده و برای ارزیابی شرایط آتی و تحلیل سناریوهای انتشار گازهای گلخانه‌ای براساس گزارش ششم مناسب‌تر است. براین اساس شبیه‌سازی دوره آتی تا سال ۲۰۳۹ میلادی براساس نتایج مدل CESM2 تحت سه سناریوی Ssp 126 و Ssp 245 و Ssp 585 برای شرایط خوشبینانه، نرمال و بدینانه آتی انجام گرفت. در جدول (۷) و (۸) نتایج میزان تغییرات بارش و دما در سه سناریوی انتشار برای چهار منطقه آنالیز شده است.

جدول (۷)- ارزیابی آماری تغییرات بارش در چهار منطقه

Table (7)- Statistical evaluation of precipitation changes in four regions

متوسط تغییرات	مقدار تغییرات بارش- میلیمتر			منطقه
	Ssp 585	Ssp 245	Ssp 126	
-۱۸	-۲۱	-۱۸	-۱۵	Z1
-۱۱/۶	-۱۵	-۱۲	-۸	Z2
-۱۳	-۱۵	-۱۳	-۱۱	Z3

	-۱۳/۳	-۱۶	-۱۴	-۱۰	Z4
مقدار تغییرات دما-سانتیگراد	جدول (۸)- ارزیابی آماری تغییرات دما در چهار منطقه				
متوسط تغییرات	Ssp 585	Ssp 245	Ssp 126	منطقه	
.۰/۸۳	.۱/۲	.۰/۸	.۰/۵	Z1	
.۰/۹۵	.۱/۲۸	.۰/۹۲	.۰/۶۵	Z2	
.۰/۹۷	.۱/۳	.۰/۹۵	.۰/۶۸	Z3	
.۱/۰۳	.۱/۳۵	.۱	.۰/۷۵	Z4	

نتایج بدست آمده از دو جدول نشان می دهد که تغییرات بارش و دما در منطقه Z1 بیشتر است. این منطقه با توجه به شرایط اقلیمی و ارتفاعی و بالابودن میزان بارندگی، عملأً میزان عدم قطعیت نتایج نیز بالاتر بدست آمده است. با توجه به دقیق مدل CESM2، ارزیابی نتایج مستخرج از سه سناریوی انتشار برای دو پارامتر دما و بارش دارای عدم قطعیت پایینتری است. این موضوع نشان می دهد که تغییرات بارش و دما دارای تغییرات نسبتاً کمتری نسبت به بررسی تعداد زیاد مدلها است. بطور کلی نتایج بدست آمده از شبیه سازی مدل های اقلیمی حاکی از کاهش بارش در منطقه است که این کاهش بین ۱۱/۶ تا ۱۸ میلیمتر در سناریوهای مختلف انتشار بدست آمد. از طرفی نیز افزایش دما در منطقه نیز محزز بوده و بین .۰/۸۳ تا ۱/۰۳ درجه سانتیگراد شبیه سازی شده است. نتایج شبیه سازی اقلیمی نیز نشان می دهد که منطقه Z1 با توجه به بالابودن بارش دارای بیشترین میزان کاهش بارش بوده و منطقه Z4 نیز با توجه به نزدیکی به کویر مرکزی ایران دارای بیشترین افزایش دما است. این نتایج نشان می دهد که شبیه سازی اقلیمی در فرآیند بارش در مناطق کوهستانی بیشترین تاثیر و فرآیند دما در مناطق خشک بیشترین تغییرات را دارد. این موضوع عملأً نشان می دهد که دوره های آتی میزان بارش که بالتبع آن رواناب حوضه کاهش یافته و در بخش خروجی میزان دما و بالتبع آن تبخیر از پیکره های آبی افزایش خواهد داشت. افزایش نیاز آبی در بخش کشاورزی و سایر مصارف باعث افزایش کمبود منابع آب شده و اوضاع تالاب گاخونی وخیم تر خواهد شد.

۴-۳- ارزیابی اثر پدیده انسو

با توجه به انتخاب سال آبی ۱۵-۱۶ برای ارزیابی پدیده انسو و سال آبی ۱۱-۱۰ برای ارزیابی پدیده لانینا، تغییرات بارش و دما در ۴ ایستگاه خوشه انتخاب شده مورد تحلیل قرار گرفته و تغییرات آن نسبت به میانگین درازمدت ارائه شده است. بررسی نتایج بدست آمده نشان می دهد که موقع پدیده انسو در شرایط النینو یا لانینا نوسانات خاصی در دمای ۴ خوشه منطقه ایجاد نمی کند. تغییرات دما حداقل .۵/۰ درجه سانتیگراد خواهد بود که این موضوع نیز در ۵ ماه آوریل تا آگوست مشهودتر است. تنها در منطقه Z1 با توجه به شرایط اقلیمی و ارتفاعی در ماههای سرد دمای کمتر از صفر وجود دارد. بررسی نتایج مورد تفسیر نشان می دهد که دما دارای حساسیت بالایی در پدیده های اقیانوسی نیست. بررسی نتایج بارندگی نشان می دهد که نوسانات بارش در پدیده النینو مثبت و در پدیده لانینا منفی است. این موضوع نشان می دهد که میزان بارش در ۵ ماه آوریل تا آگوست در دوره هایی که پدیده النینو بوقوع می پیوند افزایش چشم گیری داشته و بیشترین میزان افزایش در خوشه Z1 و کمترین افزایش در خوشه Z4 ثبت شده است. افزایش میزان بارش در بازه ۵ ماهه با توجه به فعالیت های کشاورزی و رطوبت اولیه خاک سبب می شود که میزان رواناب در منطقه افزایش داشته باشد که بالتبع آن تغذیه جریانات زیرزمینی افزایش یابد. از طرفی نیز با موقع النینو با توجه به بالابودن میزان رطوبت خاک، تعداد و قایع سیلان در منطقه افزایش یافته که می تواند در وضعیت منابع آب تاثیر مثبت داشته باشد.

۵-۳- ارزیابی وضعیت منابع آب در شرایط توسعه با تغییر اقلیم و پدیده انسو

با توجه به هدف این پژوهش که ارزیابی وضعیت بیلان منابع آب در حوضه گاوخونی تحت شرایط تغییر اقلیم و پدیده انسو به عنوان یک پدیده اقیانوسی است، ارزیابی توامان این دو رویکرد و توسعه منطقه برای افق ۱۴۲۰ یا سال ۲۰۳۹ در منطقه انجام می‌گیرد. بررسی‌های آماری نشان می‌دهد که با رخداد النینو در منطقه میزان بارندگی و نزولات آسمانی افزایش داشته و بالعکس در سالهایی که پدیده لانینا بوقوع می‌پیوندد میزان بارندگی کاهش دارد. روند تغییرات بارش در پدیده انسو نسبت به سناریوهای مختلف تغییر اقلیم بسیار با شدت بالاتری است. لذا ارزیابی شرایط آتی با دو رویکرد مجزا شامل وضعیت منابع آب در شرایط توسعه منطقه با تغییر اقلیم در سه سناریوی انتشار Ssp و وضعیت منابع آب در شرایط توسعه منطقه در حالت وقوع پدیده انسو انجام می‌گیرد. در جدول (۹) تا (۱۱) بیلان عمومی ۴ خوش در سه سناریوی انتشار و در جدول (۱۲) و (۱۳) بیلان عمومی ۴ خوش منطقه‌ای برای دو حالت پدیده انسو محاسبه و ارائه شده است.

جدول (۹)- بیلان عمومی آب در محدوده‌های مورد مطالعه در شرایط توسعه و سناریوی 126 Ssp

Table (9) - General water balance in the studied areas under development conditions and Ssp126 scenario

نام خوش منطقه‌ای	تبخیر و تعرق										بارندگی
	آبهای زیرزمینی درودی	آبهای سطحی درودی	آبهای انتقالی به خارج	آبهای مخازن آبرسانه مخازن آبرسانه	مصرف	از سقوفه	از آزاد	از زیرزمینی	مصرف	آبهای انتقالی به محدوده	
Z1	۱۵۳۲	۵۷۷	۶۶۳/۱	۱۳۰/۸	۳۴۰/۶	۰/۴	۶۳/۶	۱۱۶/۳	۷۱۱/۶	۰	-۵۰/۵
Z2	۹۴۶	۶۳۰	۱۲۱۰	۲۷۹/۳	۱۳۲۲/۸	۱/۷	۱۰۶	۱۰۹۹/۲	۰	۱۶۶/۵	-۳۵۶/۹
Z3	۹۸۶	۱۱۳۳	۲۷۹/۳	۱۱۰	۱۲۲۰,۶	۳۰/۳	۱۳/۲	۱۷۲۲/۵	۳۶۷	۹/۵	-۱۶۳/۳
Z4	۱۰۰	۷۹۶	۱۶/۶	۲۵/۷	۱۸۱/۵	۱۳/۷	۱۲۸/۷	۱۵۷۹/۱	۱۱/۵	۲/۷	-۳۷/۲

جدول (۱۰)- بیلان عمومی آب در محدوده‌های مورد مطالعه در شرایط توسعه و سناریوی 245 Ssp

Table (10) - General water balance in the studied areas under development conditions and Ssp245 scenario

نام خوش منطقه‌ای	تبخیر و تعرق										بارندگی
	آبهای زیرزمینی درودی	آبهای سطحی درودی	آبهای انتقالی به خارج	آبهای مخازن آبرسانه مخازن آبرسانه	مصرف	از سقوفه	از آزاد	از زیرزمینی	مصرف	آبهای انتقالی به محدوده	
Z1	۱۵۴۷/۸	۵۸۳/۲	۶۶۹/۷	۱۳۱۵/۳	۳۴۲/۲	۰/۴	۶۴/۵	۱۱۲۹	۷۱۱/۶	۰	-۴۸/۴
Z2	۹۴۲	۶۱۹/۳	۱۳۱۶	۲۸۲/۲	۱۳۲۵/۶	۱/۷	۱۰/۵	۱۰۷۳	۰	۱۶۸	-۳۵۶/۹
Z3	۹۷۵/۸	۱۱۱۶	۲۸۲/۲	۱۰۹/۱	۱۲۲۱/۴	۳۰/۳	۱۲/۹	۱۶۶۳	۳۶۷	۹/۵	-۱۶۴/۹
Z4	۹۸۰/۳	۷۶۳/۵	۱۶/۵	۲۵/۷	۱۸۳/۶	۱۳/۷	۱۲۹/۳	۱۵۱۸/۲	۱۱/۵	۲/۷	-۴۱/۱

جدول(۱۱)- بیلان عمومی آب در محدوده های مورد مطالعه در شرایط توسعه و سناریوی Ssp585
Table (11) - General water balance in the studied areas under development conditions and Ssp585 scenario

نام منطقه ای	دشت	ارتفاعات	بارندگی خوشه	نام			
آبیان سطحی ورودی	آبیان سطحی درخت	آبیان سطحی ورودی	آبیان سطحی خروجی	آبیان زیرزمینی خروجی	آبیان انتقالی به خارج	ذخیره مخازن آب سطحی	ذخیره مخازن آب زیرزمینی
Z1	۱۵۴۳	۵۷۵/۵	۶۶۶	۰	۷۱۱/۶	۸۵/۹	-۵۱/۲
Z2	۹۲۷	۶۱۰	۱۳۰۲	۱۶	۱۰۵۷/۵	۲۶۳/۶	-۱۷۰/۷
Z3	۹۷۵/۸	۱۰۹۹	۲۶۳/۶	۹/۵	۳۶۷	۱۶۳۳	-۱۶۶/۵
Z4	۹۶۶	۷۵۲	۱۶/۴	۲/۷	۱۴۹۶	۱۲۹/۵	-۴۲/۸
۱۳/۱	۲۵/۷	۱۸۵/۳	۱۳/۷	۱۳/۷	۱۸۵/۳	-۲۵/۳	-۴۲/۸

جدول(۱۲)- بیلان عمومی آب در محدوده های مورد مطالعه در شرایط توسعه و رخداد النینو

Table (12) - General water balance in the studied areas under the conditions of development and El Niño event

نام منطقه ای	دشت	ارتفاعات	بارندگی خوشه	نام			
آبیان سطحی ورودی	آبیان سطحی درخت	آبیان سطحی ورودی	آبیان سطحی خروجی	آبیان زیرزمینی خروجی	آبیان انتقالی به خارج	ذخیره مخازن آب سطحی	ذخیره مخازن آب زیرزمینی
Z1	۱۷۶۰	۶۶۵	۷۶۱/۵	۰	۷۱۱/۶	۱۲۸۴/۶	-۱۹/۹
Z2	۱۱۲۹	۷۰۷	۱۴۳۰	۱۶	۱۲۵۸/۷	۱۳۱۷	-۱۳۵/۸
Z3	۱۲۱۷	۱۳۳۶	۴۴۹/۶	۹/۵	۲۰۲۷/۷	۱۲۲۸	-۱۴۴/۴
Z4	۱۱۴۸	۹۲۴	۱۷/۷	۲/۷	۱۸۰/۷	۱۲۹/۲	-۱۷/۹
۱۳/۱	۲۵/۷	۱۸۱/۵	۱۳/۷	۱۳/۷	۱۸۰/۷	-۲۳/۸	-۱۷/۹

جدول(۱۳)- بیلان عمومی آب در محدوده های مورد مطالعه در شرایط توسعه و رخداد لانینا

Table (13) - General water balance in the studied areas under the conditions of La Nina development and occurrence

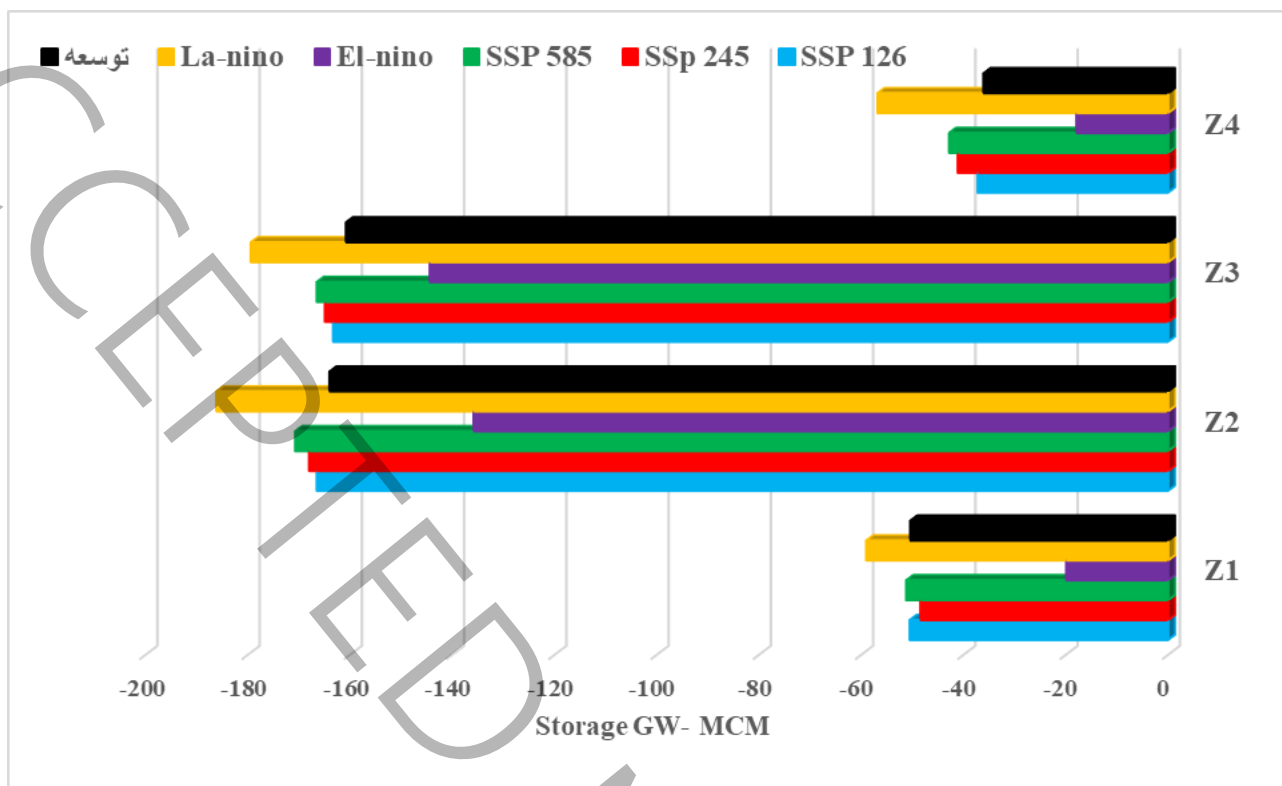
نام منطقه ای	دشت	ارتفاعات	بارندگی خوشه	نام			
آبیان سطحی ورودی	آبیان سطحی درخت	آبیان سطحی ورودی	آبیان سطحی خروجی	آبیان زیرزمینی خروجی	آبیان انتقالی به خارج	ذخیره مخازن آب سطحی	ذخیره مخازن آب زیرزمینی
Z1	۱۴۹۴	۵۴۵	۶۴۵/۲	۰	۷۱۱/۶	۱۰۷۶/۸	-۵۹
۱۲۸۵	۳۳۲/۲	۰/۴	۶۳/۱	۰	۱۲۸۵	-۰	-۵۹

-۱۸۶/۱	۰	۳۵۶/۹	۰	۲۱۷/۶	۱۳۱۷	۱/۷	۱۱/۱	۹۴۵/۵	۰	۱۶	۱۲۸۵	۵۲۰	۸۷۷	Z2
-۱۷۹/۴	.	۸۰/۵	۲/۹	۸	۱۲۴۱	۳۰/۳	۱۲/۹	۱۴۴۵/۶	۳۶۷	۹/۵	۲۱۷/۶	۹۶۱	۸۵۸	Z3
-۵۶/۸	-۲۵/۹	۰	۱۳/۱	۲۵/۷	۱۸۱/۵	۱۳/۷	۱۲۹/۲	۱۳۱۸/۵	۱۱/۵	۲/۷	۱۶/۷	۶۶۹	۸۴۵	Z4

بررسی عدم قطعیت نتایج بدست آمده در بیلان منابع آب در ۴ خوشه در شرایط تغییراقلیم حاکی از نوسانات در محاسبات بیلان است که بیشترین میزان عدم قطعیت نتایج بیلان در منطقه Z4 با توجه به تحت تاثیر قرار داشتن منطقه از نظر افزایش دما و کاهش بارش مشاهده گردید. همچنین تاثیر میزان عدم قطعیت نتایج تبخیر با توجه به اثرگذاری دما در این حوزه نسبت به بارش با توجه به بازه عدم قطعیت نتایج بیشتر تعیین می‌گردد. از طرفی نتایج بدست آمده از اثر پدیده‌های اقیانوسی و تغییراقلیم بر وضعیت پارامترهای اقلیمی و منابع آب در حوزه آبریز زاینده‌رود نشان داد که با وضعیت تاثیرگذاری پدیده‌های نیو در برخی مناطق از نظر افزایش میزان نزولات آسمانی همچومنی داشته که می‌توان به مطالعات Matunhu et al (2022) (Le and Bae (2022) Taye et al (2021) اشاره داشت [۲۳-۲۱]. همچنین وقوع تغییراقلیم نیز با توجه به قرار داشتن این منطقه در کمربند خشک کاملاً با مطالعات Clarke et al (2022) Anupong et al (2022) Li et al (2022) همچومنی دارد [۲۶-۲۴].

۶-۳- ارزیابی راهکارهای سازگاری بر وضعیت منابع آب

بررسی نتایج بدست آمده در شرایط وقوع تغییراقلیم و پدیده انسو نشان می‌دهد که فشار بهره‌برداری از منابع آب تمرکز بر منابع آب زیرزمینی دارد. در شکل (۵) کسری بیلان منابع آب زیرزمینی در شرایط آتی بر اثر وقوع هریک از پدیده‌ها ارائه شده است. نتایج ارائه شده نشان می‌دهد که بیشترین کسری در دو خوشه Z2 و Z3 با توجه به حجم بالای بهره‌برداری و سطح زیرکشت است. نتایج مورد تحلیل نشان می‌دهد که پدیده‌های نیو نقش مهمی در افزایش حجم بارش و بالتبع آن جریانات سطحی داخل حوضه داشته و از روند بهره‌برداری از منابع آب زیرزمینی می‌کاهد. این موضوع سبب شده تا در دو خوشه Z1 و Z4 تا بیش از ۵۰٪ از کسری منابع آب زیرزمینی کاهش یافته و در دو خوشه Z2 و Z3 نیز روند کاهشی ملتموسی بوجود آید. از طرفی نیز جریانات انتقالی به حوضه نیز در کاهش تنش آبی و اختلاف بین عرضه و تقاضای آب تاثیر زیادی داشته است که با افزایش حجم آب انتقالی بخشی از این کمبودها و فشار به منابع آب زیرزمینی می‌تواند کاسته شود. لذا بر این اساس به منظور سازگاری با شرایط آتی ۵ راهکار بصورت اجمالی مورد تحلیل قرار می‌گیرد. هدف از ارزیابی این راهکارها، کاهش فشار بر منابع آب زیرزمینی و کسری منابع آب است.



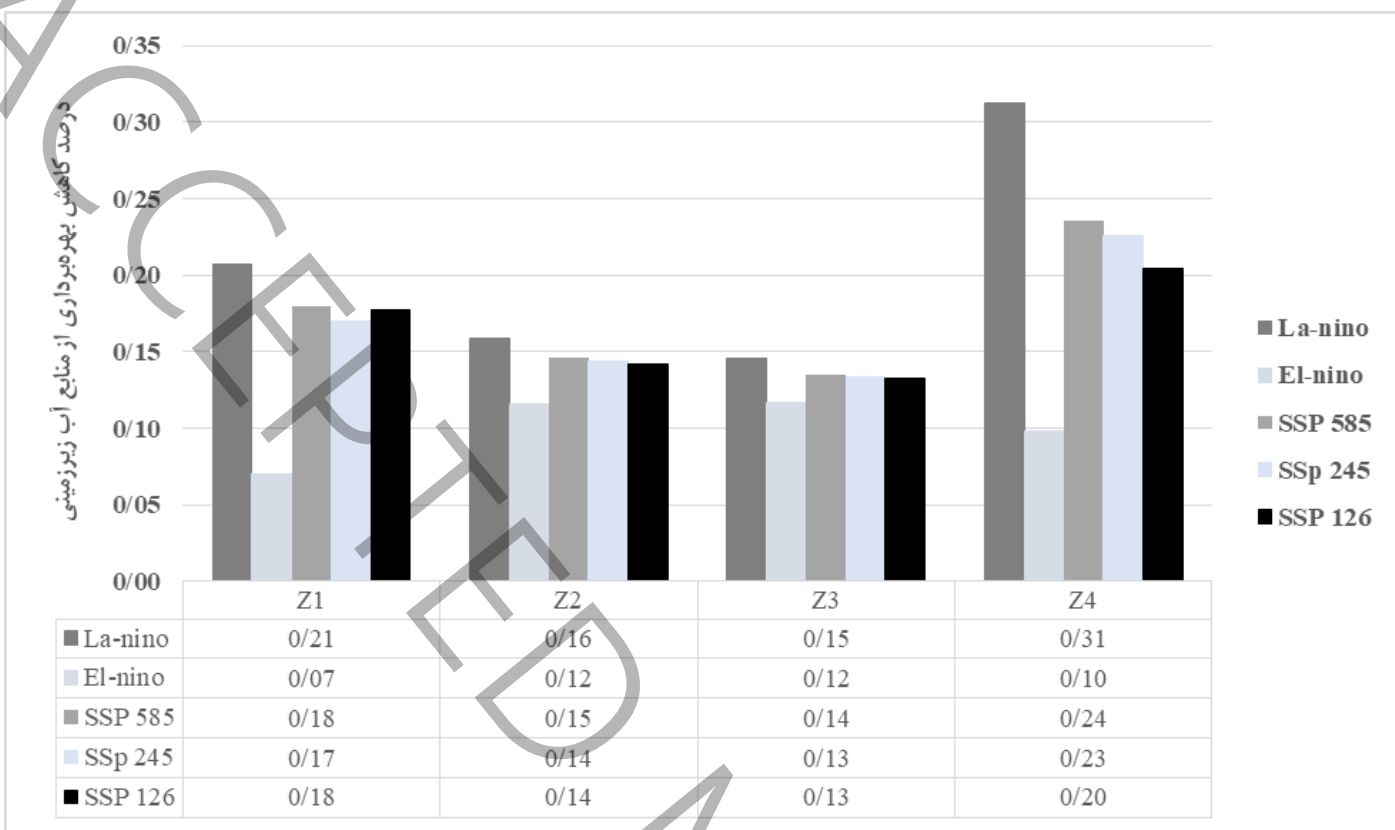
شکل (۵)- کسری بیلان آب زیرزمینی در اثر وقوع پدیده‌های مورد تحلیل

Figure (5) - The deficit of the groundwater balance due to the occurrence of the analyzed phenomena

الف) افزایش انتقال آب از حوزه سد کارون با فعالیت تونل شماره ۳ کوهرنگ و تونل بهشتآباد (S1): بررسی میزان کسری منابع آب زیرزمینی در دوره آتی نشان می‌دهد در بدینانه‌ترین شرایط ۴۸۱ میلیون مترمکعب و در خوبینانه‌ترین حالت ۳۱۸ میلیون مترمکعب کسری وجود خواهد داشت. لذا در صورت انتقال آب از تونل‌های شماره ۳ کوهرنگ و بهشتآباد با حجمی معادل شرایط و جایگزینی بهره‌برداری از منابع آب زیرزمینی با آب سطحی انتقالی عملًا می‌توان کسری منابع آب زیرزمینی را بصورت کامل مهار کرد.

نکته حائز اهمیت در این بخش این موضوع است که این حجم جریان می‌باشد از حوزه آبریز کارون تامین گردد که این حوزه نیز در تنش آبی قرار داشته و مدیریت در آن منطقه نیز بسیار حائز اهمیت است. که با توجه به شرایط موجود و حادتر شدن شرایط آتی از نظر اقلیمی و نیاز آبی، اجرای این راهکار تبعات اقتصادی و اجتماعی سنگینی را خواهد داشت.

ب) کاهش بهره‌برداری از منابع آب حوزه به میزان کسری منابع آب زیرزمینی (S2): با توجه به حجم بهره‌برداری و کسری منابع آب زیرزمینی یکی از راهکارها در جهت مدیریت منابع آب زیرزمینی، کاهش بهره‌برداری با تأکید بر بخش کشاورزی است که به عنوان یکی از پژوهه‌های طرح تعادل‌بخشی نیز محسوب می‌گردد. با توجه به حجمی بهره‌برداری بالغ بر ۲/۸ BCM عملًا در شرایط بدینانه کاهش ۱۷ درصد و در شرایط خوبینانه کاهش ۱۱ درصد در بخش کشاورزی قابلیت جبران کسری منابع آب زیرزمینی را خواهد داشت. این حجم کاهش بهره‌برداری در دو خوشة Z1 و Z4 در شرایط بدینانه و دو خوشة Z2 و Z3 در شرایط خوبینانه بیشتر خواهد بود. براساس محاسبات انجام گرفته در مدل، میزان درصد کاهش در ۴ خوشه در شرایط بدینانه به ترتیب ۰٪/۲۱، ۰٪/۱۶ و ۰٪/۲۱ و در شرایط خوبینانه به ترتیب ۰٪/۱۲، ۰٪/۱۲ و ۰٪/۱۰ خواهد بود.



شکل (۶)- میزان کاهش بهره‌برداری از منابع آب زیرزمینی در راهکار S2

Figure (6) - The amount of reduction in the use of underground water resources in the S2 solution

ج) افزایش بهره‌وری آب در بخش کشاورزی به میزان ۱ و ۲/۵ درصد (S3): با توجه به نتایج مورد تحلیل در جدول (۱۴) با افزایش میزان بهره‌وری آب و ثابت بودن میزان عملکرد، میزان آب مصرفی می‌تواند کاهش چشم‌گیری داشته باشد.

جدول (۱۴) - تحلیل افزایش بهره‌وری آب در بخش کشاورزی راهکار S3

Table (14) - Analysis of increasing water productivity in the agricultural sector of solution S3

خوشه	MCM	مجموع مصارف آب	مجموع تولید آبی در محدوده‌های مطالعاتی (تن)	کارایی مصرف آب در محدوده‌های مطالعاتی (کیلوگرم بر متر مکعب)	افزایش کارایی (%)	افزایش کارایی (%)	مصارف آب با افزایش ۱٪ (%)	افزایش ۲/۵٪ (%)	بهره‌وری- MCM	بهره‌وری- MCM
Z1	۷۵۱/۲	۴۲۳۳۵۲	۰/۵۶	۰/۵۷	۰/۵۹	۷۳۸/۱	۷۱۹/۳			
Z2	۱۹۵۱/۹	۸۷۸۱۸۲	۰/۴۵	۰/۴۶	۰/۴۷	۱۹۰۹/۵	۱۸۴۹/۱			
Z3	۲۰۲۵/۱	۱۱۱۵۸۸۸	۰/۵۵	۰/۵۶	۰/۵۸	۱۹۸۹	۱۹۳۷/۲			
Z4	۲۹۶/۵	۱۰۹۳۷۴	۰/۳۷	۰/۳۸	۰/۳۹	۲۸۸/۷	۲۷۷/۷			
حوزه آبریز	۵۰۲۴/۷	۲۵۲۶۷۹۶	۰/۵	۰/۵۱	۰/۵۲۵	۴۹۲۵/۲	۴۷۸۳/۳			

نتایج نشان می‌دهد که با افزایش ۱٪ بهره‌وری آب در سطح کل حوزه آبریز حجمی بالغ بر ۹۹ MCM و با افزایش ۲/۵٪ بهره‌وری آب حجمی بالغ بر ۲۴۰ MCM کاهش بهره‌برداری از منابع آب ایجاد می‌شود. این کاهش می‌تواند در بیلان منابع آب زیرزمینی منطقه در شرایط آتی تاثیرگذار باشد.

د) افزایش راندمان بخش کشاورزی (S4): با توجه به تحلیل جدول (۱۴) در صورت افزایش راندمان آبیاری بخش کشاورزی عملأً میزان آب مصرفی کاهش خواهد داشت. بیشترین میزان افزایش راندمان در منطقه Z2 و بطور متوسط $3/16\%$ و کمترین میزان در منطقه Z3 به میزان $1/08\%$ پیش‌بینی شده است. براین اساس به منظور تعدیل فشار بر منابع آب کاهش می‌یابد. این درصد معادل حجم 175 MCM در حوزه آبریز خواهد بود که می‌تواند در بیلان منابع آب زیرزمینی منطقه تاثیرگذار باشد.

۴- نتیجه‌گیری

یکی از مهمترین دغدغه‌های مدیران تصمیم‌گیرنده در بخش آب کشور، تدوین رویکردهای مدیریت منابع آب برای برنامه‌ریزی در شرایط آتی است. شرایط آتی تابع عوامل اقلیمی و توسعه‌های برنامه‌ریزی شده براساس سند آمایش در مناطق مختلف است. براین اساس این پژوهش با هدف ارزیابی وضعیت منابع آب در حوضه آبریز گاوخونی برای شرایط آتی مورد بررسی قرار گرفت. بررسی شرایط آتی نشان می‌دهد که علاوه بر گرمایش زمین و عواقب آن که تغییراقلیم است، پدیده‌های اقیانوسی نیز بر وضعیت منابع آب حوضه‌های آبریز تاثیرگذار است. لذا پدیده انسو به عنوان یک پدیده اقیانوسی و سناریوهای انتشار در گزارش ششم تغییراقلیم بر وضعیت منابع آب حوضه آبریز گاوخونی مورد ارزیابی قرار گرفت. بررسی شرایط موجود از دو مدل شبیه‌سازی اقلیمی CESM2 و IPSL-CM6A-LR که در مطالعات مربوط به حوزه آبریز گاوخونی دارای نتایج مناسبی است استفاده شد. نتایج شبیه‌سازی دوره آتی با استفاده از شاخص‌های آماری نشان داد که مدل CESM2 دارای دقت مناسب‌تری بوده و از این مدل برای شبیه‌سازی دوره آتی ۲۰۲۰ تا ۲۰۴۰ تحت سه سناریوی SSP126، SSP245 و SSP585 استفاده شد. حوزه آبریز گاوخونی بدلیل تنوع اقلیم و بهره‌برداری براساس مرز محدوده‌های مطالعاتی به ۴ خوشه تقسیم گردید و تحلیل وضعیت منابع آب در این مناطق انجام گرفت. نتایج شبیه‌سازی اقلیمی نشان داد که متوسط تغییرات بارش در سه سناریوی انتشار در ۴ منطقه خوشبندی به ترتیب کاهش 18% ، 13% و $11/6\%$ می‌لیمتر و افزایش دما به ترتیب $0/83^\circ\text{C}$ ، $0/95^\circ\text{C}$ و $0/93^\circ\text{C}$ درجه سانتی‌گراد را داشته است. نتایج بدست آمده نشان داد که در کل حوزه آبریز افزایش دما و کاهش بارش وجود داشته که بیشترین میزان کاهش بارش در مناطق غربی و ارتفاعات شبیه‌سازی شده است. بررسی وضعیت فعلی منابع آب در ۴ خوشه نشان داد که با توجه به توسعه‌های بدون برنامه‌ریزی بخش آب در سطح حوزه، کسری $467\text{ میلیون مترمکعب}$ منابع آب زیرزمینی بدست آمد که این موضوع در شرایط توسعه با توجه به در نظر گرفتن افزایش راندمان و بهره‌وری آب به منظور کاهش بهره‌برداری، حجم کسری سالانه 411 MCM خواهد بود. با توجه به این شرایط شبیه‌سازی تغییراقلیم در سه سناریوی انتشار و پدیده انسو در دو حالت رخداد النینو و لانینو انجام گرفت. بررسی نتایج شبیه‌سازی منابع آب در منطقه نشان داد که وقوع لانینو و سه سناریوی تغییراقلیم باعث کاهش حجم بهره‌برداری و افزایش میزان کسری منابع آب زیرزمینی می‌گردد. در شرایط رخداد النینو با توجه به افزایش بارش در سطح کل حوزه آبریز، میزان کسری منابع آب زیرزمینی به 311 MCM خواهد رسید. کسری منابع آب زیرزمینی در سه سناریوی تغییراقلیم بین $417\text{ تا }431\text{ MCM}$ در حالت خوشبینانه تا بدینانه تغییر خواهد کرد. نتایج بدست آمده نشان داد که شدت تاثیر پدیده‌های اقیانوسی بر منابع آب بسیار شدیدتر از تغییراقلیم است. از طرفی نیز وقوع پدیده‌های اقیانوسی با شدت بالا معمولاً در یک دوره بازگشت 20 ساله بوقوع پیوسته و تاثیر یک تا سه ساله خواهد داشت. نتایج بدست آمده نشان می‌دهد که پیش‌بینی وقایع اقیانوسی برای مدیریت بهره‌برداری منابع آب بسیار حائز اهمیت است.

با توجه به نتایج بدست آمده از وضعیت بیلان منابع آب حوزه آبریز گاوخونی با تمرکز بر بیلان منابع آب زیرزمینی، 4 راهکار سازگاری در این منطقه بصورت کلان تعریف و مورد ارزیابی قرار گرفت. راهکارهای انتقال آب از تونل بهشت‌آباد و شماره کوهرنگ (S1)، کاهش بهره‌برداری از منابع آب زیرزمینی (S2)، افزایش بهره‌وری آب در بخش کشاورزی (S3) و افزایش راندمان کشاورزی (S4) مورد ارزیابی قرار گرفت. نتایج بدست آمده در این بخش بدون در نظر گرفتن اثرات زیست محیطی نشان داد که هر کدام از این راهکار در افزایش حجم آبخوان‌ها تاثیرگذار بوده و با توجه به محدودیت‌های احتمالی افزایش راندمان و بهره‌وری آب دارای نتایج

کمی مناسب‌تری خواهد بود. نتایج نشان داد که در شرایط بدینانه کاهش ۱۷ درصد و در شرایط خوشبینانه کاهش ۱۱ درصد در بخش کشاورزی قابلیت جبران کسری منابع آب زیرزمینی را خواهد داشت. همچنین با افزایش ۱٪ بهره‌وری آب در سطح منطقه حجمی بالغ بر ۲۴۰ MCM و با افزایش ۲/۵٪ بهره‌وری آب حجمی بالغ بر ۹۹ MCM کاهش بهره‌برداری از منابع آب ایجاد می‌شود. همچنین با افزایش راندمان بخش کشاورزی حجم ۱۷۵ MCM کاهش بهره‌برداری در سطح حوزه آبریز ایجاد می‌شود. از طرفی نیز این نکته حائز اهمیت است که عدم قطعیت نتایج بدست آمده با توجه به ذات داده‌های مورد استفاده در بیلان منابع آب و عدم قطعیت مدل‌های تغییر اقلیم و سناریوهای انتشار می‌تواند در نتایج تصمیم‌گیری حائز اهمیت باشد. بررسی عدم قطعیت نتایج بدست آمده همان‌طور که در تحلیل شرایط اقلیمی تحت سناریوهای مختلف مورد تفسیر قرار گرفت می‌تواند دامنه‌ای از وضعیت بیلان را در بر داشته باشد که این عدم قطعیت در سناریوهای تغییر اقلیم نسبت به پدیده‌های اقیانوسی کمتر است.

- [1] E. Kriegler, J. Edmonds, S. Hallegatte, K.L. Ebi, T. Kram, K. Riahi, H. Winkler, D.P. Van Vuuren, A new scenario framework for climate change research: the concept of shared climate policy assumptions, *Climatic Change*, 122 (2014) 401-414.
- [2] A. Turecek, Q. Payton, J.D. Alexander, D. Goodman, A.F. Evans, N.A. Som, Reducing River Flows to Control a Parasitic Salmonid Disease in the Klamath River: Simulations Question the Efficacy of Desiccation as a Management Tool, *North American Journal of Fisheries Management*, 41(4) (2021) 1215-1224.
- [3] S. Najafi, A. Sharafati, H.K. Moghaddam, Impact of climate change adaptation strategies on groundwater resources: a case study of Sari-Neka coastal aquifer, Northern Iran, *Environmental Earth Sciences*, 82(23) (2023) 571.
- [4] G. Abdollahzadeh, M.S. Sharifzadeh, P. Sklenička, H. Azadi, Adaptive capacity of farming systems to climate change in Iran: Application of composite index approach, *Agricultural Systems*, 204 (2023) 103537.
- [5] L. Goddard, A. Gershunov, Impact of El Niño on weather and climate extremes, El Niño Southern Oscillation in a changing climate, (2020) 361-375.
- [6] S.V. Hund, I. Grossmann, D.G. Steyn, D.M. Allen, M.S. Johnson, Changing water resources under El Niño, climate change, and growing water demands in seasonally dry tropical watersheds, *Water Resources Research*, 57(11) (2021) e2020WR028535.
- [7] T. De Silva M, G.M. Hornberger, Identifying El Niño–Southern Oscillation influences on rainfall with classification models: implications for water resource management of Sri Lanka, *Hydrology and Earth System Sciences*, 23(4) (2019) 1905-1929.
- [8] T. Le, K.-J. Ha, D.-H. Bae, Projected response of global runoff to El Niño-Southern oscillation, *Environmental Research Letters*, 16(8) (2021) 084037.
- [9] D.M. Khosravi, E. Mesgari, Spatial analysis of relationship between teleconnection patterns and monthly temperature of northwest of Iran, *Geography and Territorial Spatial Arrangement*, 6(21) (2016) 203-214.
- [10] O. Alizadeh, A review of the El Niño-Southern Oscillation in future, *Earth-Science Reviews*, 235 (2022) 104246.
- [11] F.P. Delage, S.B. Power, The impact of global warming and the El Niño-Southern Oscillation on seasonal precipitation extremes in Australia, *Climate Dynamics*, 54 (2020) 4367-4377.
- [12] C.S. Hendrix, S.M. Glaser, J.E. Lambert, P.M. Roberts, Global climate, El Niño, and militarized fisheries disputes in the East and South China Seas, *Marine Policy*, 143 (2022) 105137.
- [13] P. Santidrián Tomillo, L. Fonseca, M. Ward, N. Tankersley, N. Robinson, C. Orrego, F. Paladino, V. Saba, The impacts of extreme El Niño events on sea turtle nesting populations, *Climatic Change*, 159(2) (2020) 163-176.
- [14] C. Wengel, S.-S. Lee, M.F. Stuecker, A. Timmermann, J.-E. Chu, F. Schloesser, Future high-resolution El Niño/Southern oscillation dynamics, *Nature Climate Change*, 11(9) (2021) 758-765.
- [15] G.J. Osgood, E.R. White, J.K. Baum, Effects of climate-change-driven gradual and acute temperature changes on shark and ray species, *Journal of Animal Ecology*, 90(11) (2021) 2547-2559.
- [16] O. Boucher, J. Servonnat, A.L. Albright, O. Aumont, Y. Balkanski, V. Bastrikov, S. Bekki, R. Bonnet, S. Bony, L. Bopp, Presentation and evaluation of the IPSL-CM6A-LR climate model, *Journal of Advances in Modeling Earth Systems*, 12(7) (2020) e2019MS002010.

- [17] R. Bonnet, O. Boucher, J. Deshayes, G. Gastineau, F. Hourdin, J. Mignot, J. Servonnat, D. Swingedouw, Presentation and evaluation of the IPSL-CM6A-LR ensemble of extended historical simulations, *Journal of Advances in Modeling Earth Systems*, 13(9) (2021) e2021MS002565.
- [18] G.A. Meehl, C. Shields, J.M. Arblaster, H. Annamalai, R. Neale, Intraseasonal, seasonal, and interannual characteristics of regional monsoon simulations in CESM2, *Journal of Advances in Modeling Earth Systems*, 12(6) (2020) e2019MS001962.
- [19] I.R. Simpson, J. Bacmeister, R.B. Neale, C. Hannay, A. Gettelman, R.R. Garcia, P.H. Lauritzen, D.R. Marsh, M.J. Mills, B. Medeiros, An evaluation of the large-scale atmospheric circulation and its variability in CESM2 and other CMIP models, *Journal of Geophysical Research: Atmospheres*, 125(13) (2020) e2020JD032835.
- [20] S. Ansari, H. Dehban, M. Zareian, A. Farokhnia, Investigation of temperature and precipitation changes in the Iran's basins in the next 20 years based on the output of CMIP6 model, *Iranian Water Researches Journal*, 16(1) (2022) 11-24.
- [21] T. Le, D. Bae, Causal Impacts of El Niño–Southern Oscillation on Global Soil Moisture Over the Period 2015–2100. *Earths Future* 10, e2021EF002522, in, 2022.
- [22] J. Matunhu, S. Mago, V. Matunhu, Initiatives to boost resilience towards El Niño in Zimbabwe’s rural communities, *Jàmbá-Journal of Disaster Risk Studies*, 14(1) (2022) 1194.
- [23] M.T. Taye, E. Dyer, K.J. Charles, L.C. Hirons, Potential predictability of the Ethiopian summer rains: understanding local variations and their implications for water management decisions, *Science of the Total Environment*, 755 (2021) 142604.
- [24] W. Anupong, L. Yi-Chia, M. Jagdish, R. Kumar, P. Selvam, R. Saravanakumar, D. Dhabliya, Hybrid distributed energy sources providing climate security to the agriculture environment and enhancing the yield, *Sustainable Energy Technologies and Assessments*, 52 (2022) 102142.
- [25] B. Clarke, F. Otto, R. Stuart-Smith, L. Harrington, Extreme weather impacts of climate change: an attribution perspective, *Environmental Research: Climate*, 1(1) (2022) 012001.
- [26] X. Li, D. Long, B.R. Scanlon, M.E. Mann, X. Li, F. Tian, Z. Sun, G. Wang, Climate change threatens terrestrial water storage over the Tibetan Plateau, *Nature Climate Change*, 12(9) (2022) 801-807.